

УДК 621.373 : 535

**ПОЛЕ В РЕЗОНАТОРЕ
С ДВУМЯ ФАЗОВЫМИ ПЛАСТИНКАМИ,
БЛИЗКИМИ К ЧЕТВЕРЬВОЛНОВЫМ**

М. А. Губин, Г. И. Козин и Е. Д. Проценко

В работе исследован характер собственных поляризаций поля в лазере с двумя анизотропными фазовыми пластинками, близкими к четвертьволновым, для областей между фазовыми пластинками и вне их. Установлено различие в характере взаимодействия аксиальных мод лазера в зависимости от того, в какой из этих областей помещена активная среда. Предложен способ оценки качества четвертьволновых фазовых пластин.

Использование явления взаимодействия аксиальных мод в газовых лазерах позволило в последнее время получить узкие и контрастные резонаторы мощности [¹], обеспечившие достижение высокой стабильности частоты лазера [²], и разработать новую методику измерения малых оптических плотностей среды, отличающуюся высокой чувствительностью и высоким временным разрешением [³].

Изучение таких взаимодействий и указанные выше их практические применения обычно основываются на использовании анизотропных резонаторов, представляющих собой резонатор Фабри—Перо с внесенными в него двумя фазовыми пластинками. Применение такого резонатора позволяет эффективно влиять на характер и степень взаимодействия мод («ожесточать» или «смягчать» конкуренцию). Это достигается возможностью плавной регулировки меандрового расстояния от 0 до $c/4L$ [³, ⁴], а также изменения характера поляризации взаимодействующих волн и пространственного сдвига между ними. Кроме того, в этом случае две соседние моды обладают различными поляризациями, что позволяет регистрировать каждую из них без применения спектральных приборов высокого разрешения.

Ясно, что для понимания процессов взаимодействия аксиальных мод лазера с анизотропным резонатором необходимо выяснить характер поля в таком лазере. В работе [⁵] был проведен расчет поляризации поля бегущей волны в анизотропном резонаторе вне области между фазовыми пластинками. Пластины предполагались одинаковыми. Для нашего случая необходимо знать характер поляризации поля как бегущей, так и стоячей волн в областях между фазовыми пластинками и вне их, учитывая при этом не только отклонения каждой из пластин от четвертьволновой, но и малые различия между ними.

Схема исследуемого резонатора, состоящего из зеркал r_1 и r_2 и фазовых пластин m_1 и m_2 с относительным углом поворота θ , показана на рис. 1. Расчет его собственных поляризаций, как и в [⁵], проводился методом матриц Джонса [⁶] и для волны, бегущей вне области между фазовыми

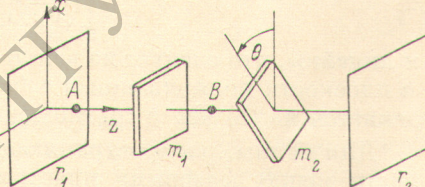


Рис. 1. Схема исследуемого анизотропного резонатора.

пластинами (т. A) в положительном направлении оси z , было получено выражение

$$\left[\left(\frac{\mathcal{E}_x}{\mathcal{E}_y} \right)_A^+ \right]_{1,2} = - \left(\varphi - \frac{\pi}{2} \right) \operatorname{ctg} \theta + \delta \varphi \operatorname{tg} \theta \pm \sqrt{1 + \left(\varphi - \frac{\pi}{2} \right)^2 \operatorname{ctg}^2 \theta + (\delta \varphi)^2 \operatorname{tg}^2 \theta}, \quad (1)$$

где \mathcal{E}_x и \mathcal{E}_y — компоненты электрического поля волны в плоскости xy , перпендикулярной направлению ее распространения, $\varphi = (\varphi_1 + \varphi_2)/2$, $\delta \varphi = (\varphi_1 - \varphi_2)/2$, $|\varphi - (\pi/2)| \ll 1$, $|\delta \varphi| \ll 1$; φ_1 и φ_2 — разности фаз между обычным и необыкновенным лучами, вносимыми фазовыми пластинами m_1 и m_2 в проходящую волну. Знак «+» вверху указывает на то, что волна распространяется в положительном направлении. Учет неодинаковости

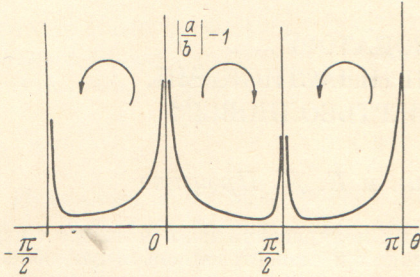


Рис. 2. Характер одной из собственных поляризаций исследуемого резонатора в зависимости от угла между осями фазовых пластинок.

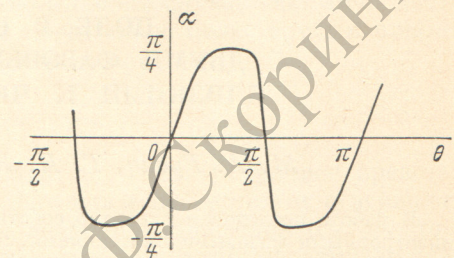


Рис. 3. Расчетная зависимость угла между направлением одной из собственных поляризаций резонатора и осью ближайшей фазовой пластины в области вне фазовых пластин от угла между их осями.

пластин привел к появлению в (1) членов, содержащих $\operatorname{tg} \theta$. Из (1) видно, что собственные поляризации взаимно ортогональны, так как

$$\left[\left(\frac{\mathcal{E}_x}{\mathcal{E}_y} \right)_A^+ \right] \left[\left(\frac{\mathcal{E}_x}{\mathcal{E}_y} \right)_A^+ \right]^* = -1 \quad (2)$$

и линейны, что следует из действительности выражения (1). Угол наклона α плоскости поляризации в собственных осях фазовой пластины m_1 определяется из (3) через соотношение $\operatorname{ctg} \alpha = (\mathcal{E}_x / \mathcal{E}_y)_A$.

Для волны, распространяющейся в положительном направлении в области между фазовыми пластинами (т. B), используя матрицу Джонса для фазовой пластины, близкой к четвертьволновой, можно получить

$$\left(\frac{\mathcal{E}_x}{\mathcal{E}_y} \right)_B^+ \simeq i \left(\frac{\mathcal{E}_x}{\mathcal{E}_y} \right)_A^+. \quad (3)$$

Отсюда с учетом (2) видно, что собственными векторами бегущей волны в области между фазовыми пластинами являются ортогонально ориентированные эллипсы с противоположными направлениями вращения, а их оси в первом приближении совпадают с осями фазовой пластины m_1 . Отношение оси a в направлении x к оси b в направлении y для них

$$\left(\frac{a}{b} \right)_{1,2} = - \left(\varphi - \frac{\pi}{2} \right) \operatorname{ctg} \theta + \delta \varphi \operatorname{tg} \theta \pm \sqrt{1 + \left(\varphi - \frac{\pi}{2} \right)^2 \operatorname{ctg}^2 \theta + (\delta \varphi)^2 \operatorname{tg}^2 \theta}. \quad (4)$$

Из этой формулы видно, что ортогональные собственные поляризации близки к круговым, если θ не слишком близок к 0 или $\pi/2$, а при приближении к этим точкам быстро (как $\operatorname{ctg}(\theta / (\pi/2 - 2\varphi))$ при $\theta \rightarrow 0$ и как $\operatorname{ctg}[-\theta / (2\delta \varphi)]$ при $\theta \rightarrow \pi/2$) преобразуются в линейные. Диапазоны углов, в пределах которых это происходит, определяются величинами $(\pi/2) - \varphi$ и $\delta \varphi$ соответственно. После прохождения какой-либо из этих точек поляризации вновь становятся близкими к круговым, но с другими направлениями вращения. Ход зависимости $|a/b| - 1$ для одной из собственных поляризаций показан на рис. 2.

По виду этой зависимости можно определить величины φ_1 и φ_2 , но экспериментально удобнее их определять по зависимости угла α между направлением линейной поляризации в точке A и осью первой фазовой пластины от θ . Такая зависимость имеет вид, показанный на рис. 3, и для нее $d\alpha/d\theta|_{\theta=0}=1/(\pi-2\varphi)$, $d\alpha/d\theta|_{\theta=\pi/2}=-1/2\delta\varphi$.

Следовательно, по тангенсам углов наклона этой кривой к оси абсцисс в точках $\theta=0$ и $\theta=\pi/2$ можно определить φ и $\delta\varphi$, а следовательно, φ_1 и φ_2 .

Теперь рассмотрим характер собственных поляризаций стоячей волны в области между фазовыми пластинками. Для волны, бегущей в отрицательном направлении через точку B аналогично (3) можно получить

$$\left(\frac{\mathcal{E}_x}{\mathcal{E}_y}\right)_B^- \approx i \left(\frac{\mathcal{E}_x}{\mathcal{E}_y}\right)_A^+. \quad (5)$$

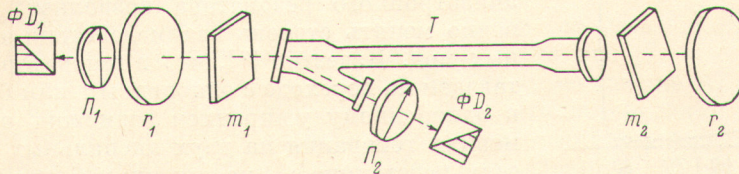


Рис. 4. Схема экспериментальной установки.

Тогда из (3) и (5) для одной из собственных поляризаций стоячей волны имеем

$$\left. \begin{aligned} (E_{Bx})_1 &= -\mathcal{E} \cos \alpha \sin k_1 z \cos \omega_1 t, \\ (E_{By})_1 &= \mathcal{E} \sin \alpha \cos k_1 z \cos \omega_1 t. \end{aligned} \right\} \quad (6)$$

Для другой поляризации, ортогональной к первой,

$$\left. \begin{aligned} (E_{Bx})_2 &= \mathcal{E} \sin \alpha \sin k_2 z \cos \omega_2 t, \\ (E_{By})_2 &= \mathcal{E} \cos \alpha \cos k_2 z \cos \omega_2 t. \end{aligned} \right\} \quad (7)$$

Здесь $\mathcal{E} = |(E)_{1,2}|$.

Из этих выражений видно, что векторы $(E_B)_1$ и $(E_B)_2$ с изменением координаты z вращаются в противоположные стороны, а их концы описывают винтовые линии, проекции которых на плоскость xy есть эллипсы (векторы описывают эллиптические винты). Оси этих эллипсов ориентированы перпендикулярно друг к другу.

Эллиптичность определяется углом α (рис. 3) и имеет зависимость от θ такую же, как и зависимость, изображенная на рис. 2.

В точках $\alpha=0, \pi/2$ ($\theta=0$ или $\pi/2$) собственные поляризации стоячей волны оказываются линейными, перпендикулярными друг к другу с относительным пространственным сдвигом δ в четверть длины волны. Если θ не слишком близок к одной из этих точек ($|a/b|-1| \ll 1$), то проекции винтовых линий, описываемых векторами $(E_B)_1$ и $(E_B)_2$, переходят в круги (векторы описывают «чистые винты»).

Экспериментальные исследования проводились в Не—Не лазере на длине $\lambda=3.39$ мкм. Газоразрядная трубка T помещалась в резонатор, об разованный зеркалами r_1, r_2 , как между фазовыми пластинами m_1 и m_2 (рис. 4), так и при необходимости вне их и имела торцевые окна, расположенные почти перпендикулярно к оси резонатора с тем, чтобы не вызывать анизотропных потерь для двух взаимно ортогональных линейных поляризаций. Длина резонатора 40 см, давление в трубке 2 тора. Выходное излучение регистрировалось фотодиодами ΦD_1 и ΦD_2 , перед каждым из них помещался поляризатор из кальцита (Π_1, Π_2). На приемник ΦD_1 попадало излучение бегущей волны после прохождения ею обеих пластин, поэтому оно всегда было поляризовано линейно в направлении, зависящем от θ [см. формулу (1)].

Приемник ΦD_2 регистрировал излучение бегущей волны, отраженное от окошка трубы, т. е. из области между пластинаами. Характер поляризации этого излучения в зависимости от θ представлен на рис. 5. При $\theta=0$ поляризация линейная, затем быстро переходит в практически круговую и затем снова в линейную при $\theta=\pi/2$. (Эти измерения проводились при работе лазера в одночастотном режиме). Для сравнения на этом же ри-

сунке по формуле (4) построена теоретическая кривая для $\varphi-(\pi/2)=0.25$, $\delta\varphi=0.04$. Экспериментальные и теоретические результаты согла- суются очень хорошо. Поляризация волны, бегущей в противоположную сторону, ведет себя аналогичным образом.

Мы уже говорили о том, что использование анизотропного резонатора позволяет существенно менять степень взаимодействия аксиальных мод. Известно [7], что в генераторе, работающем на переходе с однородным или близким к однородному уширением возможна одновременная генерация на двух аксиальных модах, если расстояние v_{12} между ними больше некоторого критического v_{kp} . Двухмодовая генерация при этом осуществляется в некоторой частотной области Δ около симметричного относительно центра линии расположения мод. В соответствии с этим, если в резонаторе (рис. 4) путем изменения θ установить расстояние между ортогонально

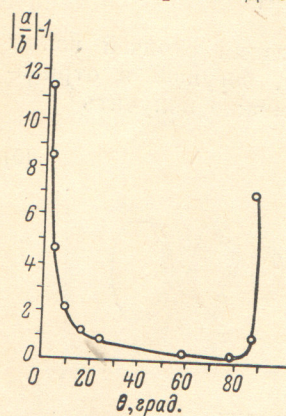


Рис. 5. Зависимость эллиптичности бегущей волны от угла между осями фазовых пластинок. (На теоретическую кривую наложены экспериментальные точки).

менении положения мод относительно центра линии будет попаременно осуществляться либо одночастотная генерация (на одной или другой моде), либо двухчастотная на ортогонально поляризованных модах. На рис. 6 показана осциллограмма мощности одной из мод в указанном режиме. Здесь вертикальные отрезки кривых отвечают одновременной генерации двух мод. Соответствующие им частотные интервалы на оси абсцисс есть Δ . Сплошные верхние участки соответствуют генерации данной моды, сплошные нижние — генерации другой моды, ортогональной к первой.

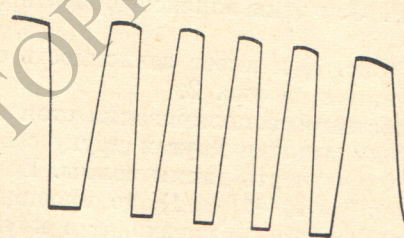


Рис. 6. Выходная мощность продольных мод на одной из собственных поляризаций резонатора при перестройке его длины.

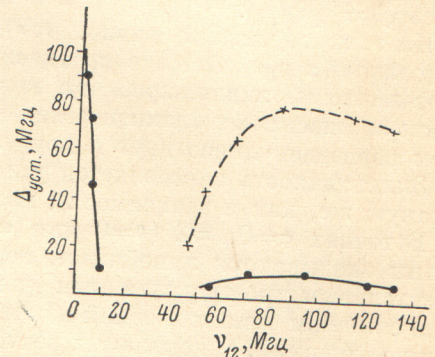


Рис. 7. Экспериментальная зависимость диапазона устойчивой двухмодовой генерации Δ от межмодового расстояния v_{12} .

На рис. 7 показана экспериментальная зависимость Δ (v_{12}) для случая, когда активная среда находится вне пластин (штриховая кривая) и между ними (сплошная кривая). Связь между θ и v_{12} достаточно хорошо описывается формулой

$$v_{12} = \frac{c}{2L} \left[\frac{2(\pi - 2\theta)}{2\pi} \right], \quad (8)$$

полученной для идеальных четвертьволновых пластин [3]. Отметим, что для второго случая по сравнению с первым характерно уменьшение Δ

при сравнительно больших ν_{12} и появление новой области двухчастотной генерации с достаточно большими Δ при малых ν_{12} . Эти результаты объясняются следующим образом: величина Δ зависит прежде всего от того, насколько близко ν_{12} к ν_{kp} . (ясно, что $\Delta=0$ при $\nu_{12}=\nu_{kp}$), и от характера поляризации взаимодействующих полей. С другой стороны, ν_{kp} зависит от пространственного сдвига δ между взаимодействующими волнами. В частности, можно показать, что для неоднородной линии и ортогонально поляризованных мод $\nu_{kp} \sim \sqrt{\cos 2\delta}$.

Для однородной линии аналогичное выражение достаточно сложно, поэтому мы приводить его не будем, отметим только, что ν_{kp} здесь обращается в нуль при $\delta > \pi/4$, что естественно, так как при однородном характере уширения пространственные эффекты должны существенное сказываться на взаимодействии полей.

С учетом сказанного и изложенных выше свойств анизотропного резонатора понятны результаты, приведенные на рис. 7.

При больших ν_{12} усиление взаимодействия (уменьшение Δ) при помещении среды между пластинами связано с тем, что поляризации здесь уже не являются чисто ортогональными, угол между ними в зависимости от z периодически изменяется от 0 до $\pi/2$ [см. формулы (6) (7)]. При уменьшении ν_{12} режим конкуренции становится жестким (Δ обращается в нуль). Однако из тех же формул (6), (7) и рис. 3 следует, что с уменьшением ν_{12} ($\theta \rightarrow 0, \pi/2$) винтообразные стоячие волны между фазовыми пластинами превращаются в линейные ортогонально-поляризованные с пространственным сдвигом $\lambda/4$.

Критическая частота при этом обращается в нуль и устойчивый двухмодовый режим оказывается возможным при сколь угодно малом ν_{12} (рис. 6, сплошная кривая) в достаточно большом диапазоне Δ .

Резкое увеличение Δ при малых ν_{12} связано с резким изменением характера поляризации поля в пространстве между пластинами в области малых θ [рис. 2, формула (4)].

Литература

- [1] М. А. Губин, А. И. Попов, Е. Д. Проценко. Сб. «Квантовая электроника», 3, 99, 1971.
- [2] Н. Г. Басов, М. А. Губин, В. В. Никитин, Е. Д. Проценко, В. А. Степанов. Письма в ЖЭТФ, 15, 525, 1972.
- [3] W. E. Evtushov. A. E. Siegman. Appl. Optics, 4, 142, 1965.
- [4] В. Н. Григорьев, Ю. А. Рымарчук. Сб. «Физика газовых лазеров», ЛГУ, 1969.
- [5] Э. И. Иванов, М. П. Чайка. Сб. «Физика газовых лазеров», ЛГУ, 1969.
- [6] У. Шерклифф. Поляризованный свет. Изд. «Мир», М., 1965.
- [7] М. А. Губин, А. И. Попов, Е. Д. Проценко. Сб. «Квантовая электроника», 4, 34, 1971.

Поступило в Редакцию 20 июля 1971 г.